

## Влияние одноионной анизотропии на фазовые состояния $2D$ негейзенберговских ферромагнетиков

Ю.А. Фридман, Д.А. Матюнин, Ф.Н. Клевец

*Таврический национальный университет им. В.И. Вернадского  
пр. Вернадского, 4, г. Симферополь, 95007, Украина  
E-mail: frid@tnu.crimea.ua*

Статья поступила в редакцию 30 октября 2006 г., после переработки 19 декабря 2006 г.

Исследованы фазовые состояния и спектры элементарных возбуждений анизотропного  $2D$  негейзенберговского ферромагнетика. Показано, что одноионная анизотропия типа «легкая ось» существенно влияет как на формирование квадрупольной фазы, так и на реализацию угловой фазы. Определены условия фазовых переходов как по материальным константам, так и по магнитному полю. Построены фазовые диаграммы системы.

Досліджено фазові стани і спектри елементарних збуджень анізотропного  $2D$  негейзенбергівського ферромагнетика. Показано, що одноіонна анізотропія типу «легка вісь» істотно впливає як на формування квадрупольної фази, так і на реалізацію кутової фази. Визначено умови фазових переходів як по матеріальних константах, так і по магнітному полю. Побудовано фазові діаграми системи.

PACS: **75.10.–b** Общая теория и модели магнитного упорядочения;  
**75.30.Gw** Магнитная анизотропия;  
**72.55+s** Магнитоакустические эффекты.

Ключевые слова: биквадратичный обмен, одноионная анизотропия, фазовые переходы.

### Введение

Большое число магнитных соединений, состоящих из регулярно расположенных магнитных ионов, между которыми имеется обменное взаимодействие фиксированного знака и интенсивности, остаются, тем не менее, немагнитными вплоть до температуры  $T = 0$  [1–11]. Причина отсутствия магнитного порядка в указанных случаях — существование сильной легкоплоскостной одноионной анизотропии (ОА) вида  $\beta \sum_n (S_n^z)^2$ ,

где константа  $\beta$  сравнима или даже превосходит обменное взаимодействие  $J_0$ . В таких магнетиках квантовые свойства отдельных спинов в эффективном магнитном поле играют решающую роль в формировании динамических и термодинамических свойств магнетиков.

Теоретические исследования таких систем восходят к работе Мория [11]. В ней было показано, что при  $\beta/2J_0 > 1$  даже при абсолютном нуле температур в отсутствие внешнего поля реализуется немагнитное квадрупольно-упорядоченное (КУ) основное состояние.

Другим механизмом (кроме ОА), приводящим к существованию КУ фаз, может быть наличие большого биквадратичного обмена [12–14]. В течение многих лет модель Гейзенберга была основой, на которой развивалась теория магнетизма. Однако возможен и выход за рамки билинейного обменного взаимодействия, не нарушающий изотропности системы. К числу наиболее интересных систем этого класса принадлежат магнетики, в гамильтониане которых обмен высших порядков по спине сравним или превосходит билинейный гейзенберговский обмен. Очевидно, что более сложные модели должны характеризоваться и необычными свойствами. Так, например, в работе [15] было показано, что учет большого биквадратичного обменного взаимодействия в изотропном  $2D$  магнетике приводит не только к реализации однородных (ферромагнитной (ФМ) и КУ фаз), но и к возникновению пространственно неоднородного состояния, причем неоднородность связана с распределением компонент тензора квадрупольных моментов. Естественно, возникает вопрос о влиянии легкоосной ОА в  $2D$  негейзенберговских ферромагнетиках, находящихся во

внешнем магнитном поле. Кроме того, небезынтересным является вопрос о конкуренции биквадратичного взаимодействия и одноионной анизотропии. Необходимо отметить, что такие системы, но с учетом лишь гейзенберговского обменного взаимодействия, рассматривались в работах [16–18]. В них было показано, что в гейзенберговских 2D магнетиках возможна реализация как однородных ФМ фаз, так и неоднородных, причем неоднородным является распределение намагниченности.

Таким образом, цель данной работы — исследование влияния одноионной анизотропии на формирование пространственно неоднородных фаз в 2D негейзенберговских ферромагнетиках.

### Спектры связанных магнитоупругих волн

В качестве исследуемой системы рассмотрим 2D негейзенберговский ферромагнетик ( $XOY$  — плоскость пленки) с учетом ОА типа «легкая ось», перпендикулярной плоскости пленки, и магнитодипольного взаимодействия. Кроме того, необходимо отметить следующее обстоятельство: учет магнитоупругого взаимодействия приводит как к существенным изменениям динамических свойств магнитоупорядоченной системы (особенно в окрестности фазовых переходов), так и к особенностям фазовых состояний [19–21]. Немаловажным фактором оказывается и величина физической размерности упругой подсистемы. Поэтому в нашей модели учтем также магнитоупругую и упругую энергии системы. При этом выберем пленку с «плоскими» магнитоупругим и упругим взаимодействиями. Под «плоской» упругой системой будем понимать систему, в которой учитываются компоненты тензора деформаций только в плоскости пленки [22]. Спин магнитного иона предполагаем равным единице ( $S = 1$ ), так как это минимальное значение, при котором возможно существование как биквадратичного взаимодействия, так и одноионной анизотропии. Рассмотрение будет проводиться для случая низких температур ( $T \ll T_C$ ,  $T_C$  — температура Кюри). Гамильтониан такого магнетика в отсутствие внешнего поля можно записать в виде

$$\mathcal{H} = -\frac{1}{2} \sum_{n,n'} J(n-n') \mathbf{S}_n \mathbf{S}_{n'} - \frac{1}{2} \sum_{n,n'} K(n-n') (\mathbf{S}_n \mathbf{S}_{n'})^2 - \frac{1}{2} \sum_{n,n'} V_{nn'}^{ij} (S_n^i S_{n'}^j) - \frac{\beta}{2} \sum_n (S_n^z)^2 + \lambda \sum_n u_{ij} S_n^i S_n^j + \frac{E}{2(1-\sigma^2)} \int [u_{xx}^2 + u_{yy}^2 + 2\sigma u_{xx} u_{yy} + (1-\sigma) u_{xy}^2] dr, \quad (1)$$

где  $J(n-n')$ ,  $K(n-n') > 0$  — константы гейзенберговского и биквадратичного обменных взаимодействий

соответственно;  $\beta > 0$  — константа ОА;  $S_n^i$  —  $i$ -я компонента спинового оператора в узле  $n$ ;  $u_{ij}$  — компоненты тензора деформаций;  $\lambda$  — константа магнитоупругого взаимодействия;  $E$  — модуль Юнга;  $\sigma$  — коэффициент Пуассона;  $V^{ij}(n)$  — компоненты тензора магнитодипольного взаимодействия, фурье-образы которых в данной геометрии имеют вид [23]

$$V_k^{xx} = \frac{A_0}{3} - \Omega_0 k \cos^2 \psi; \quad V_k^{yy} = \frac{A_0}{3} - \Omega_0 k \sin^2 \psi; \\ V_k^{zz} = -\frac{2}{3} A_0 + \Omega_0 k; \quad V_k^{xy} = -\frac{\Omega_0 k}{2} \sin 2\psi, \quad V_k^{xy} = V_k^{yz} = 0, \\ A_0 = \frac{3}{2} (g\mu_B)^2 \sum_{R \neq 0} R^{-3}, \quad \Omega_0 = \frac{2\pi(g\mu_B)^2}{a^2}, \quad (2)$$

где  $a^2$  — «объем» плоской элементарной ячейки,  $g$  — фактор Ланде,  $\mu_B$  — магнетон Бора,  $\psi$  — угол между направлением волнового вектора  $\mathbf{k}$  и осью  $OX$ .

Выделяя в гамильтониане (1) среднее поле, связанное с упорядочением магнитных моментов, и дополнительные поля, определяющие квадрупольное упорядочение, для одноузельного гамильтониана  $\mathcal{H}_0(n)$  получаем

$$\mathcal{H}_0(n) = -\bar{H} S_n^z - B_2^0 O_{2n}^0 - B_2^2 O_{2n}^2 - \frac{\beta}{2} (S_n^z)^2 + \lambda u_{ij} S_n^i S_n^j, \quad (3)$$

где

$$\bar{H} = (J_0 - \frac{K_0}{2} + V_0^{zz}) \langle S^z \rangle, \quad B_2^0 = \frac{K_0}{6} q_2^0, \quad B_2^2 = \frac{K_0}{2} q_2^2, \\ O_{2n}^0 = 3(S_n^z)^2 - S(S+1), \quad O_{2n}^2 = \frac{1}{2} [(S_n^+)^2 + (S_n^-)^2], \\ q_2^0 \equiv \langle O_2^0 \rangle, \quad q_2^2 \equiv \langle O_2^2 \rangle.$$

Решая с гамильтонианом (3) одноузельную задачу, найдем энергетические уровни магнитного иона и собственные функции одноузельного гамильтониана (3).

На базисе собственных функций одноузельного гамильтониана (3) построим операторы Хаббарда  $X_n^{M'M} \equiv |\Psi_n(M')\rangle \langle \Psi_n(M)|$ , которые описывают переход магнитного иона из состояния  $M$  в состояние  $M'$  [23,24] и связаны со спиновыми операторами следующим образом:

$$S_n^z = \cos 2\theta (H_n^1 - H_n^{-1}) - \sin 2\theta (X_n^{1-1} + X_n^{-11}), \\ S_n^+ = \sqrt{2} \cos \theta (X_n^{10} + X_n^{0-1}) + \sqrt{2} \sin \theta (X_n^{01} - X_n^{-10}), \\ S_n^- = (S_n^+)^+, \quad (4)$$

где  $H_n^M \equiv X_n^{MM}$  — диагональные операторы Хаббарда,

$$\cos \theta = \sqrt{\frac{\kappa + \bar{H}}{2\kappa}}, \quad \kappa = \sqrt{\bar{H}^2 + \left[ B_2^2 - \frac{\lambda}{2} (u_{xx}^{(0)} - u_{yy}^{(0)}) \right]^2},$$

$u_{ij}^{(0)}$  — спонтанные деформации, явный вид которых определяется из условия минимума плотности свободной энергии.

Связь спиновых операторов с операторами Хаббарда позволяет определить параметры порядка системы:

$$\langle S^z \rangle = \cos 2\theta, \quad q_2^0 = 1, \quad q_2^2 = \sin 2\theta. \quad (5)$$

Компоненты тензора деформаций представимы в виде  $u_{ij} = u_{ij}^{(0)} + u_{ij}^{(1)}$ . Первое слагаемое в этом выражении определяет спонтанные деформации, второе связано с колебаниями узлов кристаллической решетки. Квантуя в одноузельном гамильтониане стандартным образом [25] динамическую часть тензора деформаций, получаем гамильтониан, описывающий процессы трансформаций фононов в магноны и наоборот:

$$\mathcal{H}_{\text{tr}} = \sum_n \left\{ \sum_M P_M H_n^M + \sum_\alpha P_\alpha X_n^\alpha \right\},$$

$$P_{M(\alpha)} = \frac{1}{\sqrt{N}} \sum_{q,v} (b_{q,v} + b_{-q,v}^+) T_n^{M(\alpha)}(q,v).$$

Здесь  $b_{q,v}^+$  и  $b_{q,v}$  — операторы рождения и уничтожения фононов,  $e_v(q)$  — единичный вектор поляризации фононов, имеющий только две компоненты  $v = (l;t)$  для «плоской» упругой подсистемы;  $m$  — масса магнитного иона;  $N$  — число узлов в кристаллической решетке;  $\omega_v(q) = c_v q$  — закон дисперсии свободных фононов;  $c_v$  — скорость  $v$ -поляризованного звука;  $T_n^{M(\alpha)}(q,v)$  — амплитуды трансформаций,  $\alpha$  — корневые векторы, компоненты которых определяются алгеброй операторов Хаббарда [23,24].

В рассматриваемой геометрии отличными от нуля компонентами вектора поляризации фононов являются  $e_l^x$  и  $e_l^y$ , а отличные от нуля недиагональные амплитуды трансформаций имеют вид

$$T_n^{\alpha 3} = \frac{i\lambda}{2} T_n^0(k,v) [k e_l^x \cos 2\theta - i k e_l^y],$$

$$T_n^{\alpha 4} = \frac{i\lambda}{2} T_n^0(k,v) [k e_l^x \cos 2\theta + i k e_l^y], \quad (6)$$

где  $T_n^0(k,v) = \frac{\exp(i\mathbf{k}\mathbf{n})}{\sqrt{2m\omega_v(k)}}$ .

Спектр элементарных возбуждений определяется полюсами функции Грина, которую, следуя [26], определим следующим образом:

$$G^{\alpha\alpha'}(n,\tau;n',\tau') = -\langle \hat{T} \tilde{X}_n^\alpha(\tau) \tilde{X}_{n'}^{\alpha'}(\tau') \rangle.$$

Здесь  $\hat{T}$  — оператор Вика,  $\tilde{X}_n^\alpha(\tau) = e^{iH\tau} X_n^\alpha e^{-iH\tau}$  — оператор Хаббарда в представлении взаимодействия, причем усреднение ведется с полным гамильтонианом.

Учет магнитоупругого взаимодействия приводит к гибридизации упругих и магнитных возбуждений, в результате чего в магнитоупорядоченном кристалле возникает так называемая магнитоупругая волна [19]. Дисперсионное уравнение связанных магнитоупругих волн можно представить в виде [21]

$$\det \|\delta_{ij} + x_{ij}\| = 0. \quad (7)$$

Вид элементов  $x_{ij}$  приведен в работах [15,21].

Уравнение (7) получено при точном учете ОА и магнитоупругого взаимодействия и определяет спектры связанных магнитоупругих волн при произвольном соотношении материальных констант и произвольных температурах (вплоть до  $T_C$ , исключая флуктуационную область).

Рассмотрим решения дисперсионного уравнения (7) в случае, когда константа биквадратичного обмена превосходит константу билинейного обмена и константу ОА ( $K_0 > J_0 > \beta$ ). Подобная ситуация, без учета ОА, рассматривалась в работе [15]. В этом случае параметры порядка системы (5) имеют вид

$$\langle S^z \rangle = 0, \quad q_2^0 = q_2^2 = 1,$$

и в системе реализуется однородная КУ фаза. Энергетические уровни магнитного иона равны:

$$E_1 = -\frac{2}{3} K_0 - \frac{\beta}{2} + \lambda u_{xx}^{(0)}, \quad E_{-1} = \frac{K_0}{3} - \frac{\beta}{2} + \lambda u_{yy}^{(0)},$$

$$E_0 = \frac{K_0}{3} + \lambda (u_{xx}^{(0)} + u_{yy}^{(0)}), \quad (8)$$

а амплитуды трансформаций (6) имеют следующий вид:

$$T_n^{\alpha 3} = \frac{\lambda}{2} T_n^0(k,t) k e_l^y, \quad T_n^{\alpha 4} = -\frac{\lambda}{2} T_n^0(k,t) k e_l^y. \quad (9)$$

Спонтанные деформации в данном состоянии равны:

$$u_{xx}^{(0)} = -\frac{\lambda}{E}, \quad u_{yy}^{(0)} = \frac{\lambda\sigma}{E}, \quad u_{xz}^{(0)} = 0. \quad (10)$$

Из выражений (8) и (10) видно, что учет ОА нарушает равенство спонтанных деформаций и приводит к снятию вырождения между энергетическими уровнями  $E_0$  и  $E_{-1}$  (см. [15]). Как следствие, высокочастотные ( $\epsilon_{\parallel}$ ) и низкочастотные ( $\epsilon_{\perp}$ ) спектры квазимагнонов в КУ фазе различны и имеют вид

$$\epsilon_{\perp}(k) = \left\{ \left( \frac{\beta}{2} + b_0\sigma + \gamma k^2 \right) \times \right. \\ \left. \times \left[ 2 \left( K_0 - J_0 - \frac{A_0}{3} \right) + \frac{\beta}{2} + b_0\sigma^2 + 2\Omega_0 k + (2\alpha - \gamma) k^2 \right] \right\}^{1/2}, \quad (11)$$

$$\varepsilon_{\parallel}(k) = \left\{ [\gamma k^2 + b_0(1+\sigma)] \times \left[ 2 \left( K_0 + \frac{2}{3} A_0 - J_0 \right) + b_0(1+\sigma) - 2\Omega_0 k + (2\alpha - \gamma) k^2 \right] \right\}^{1/2}. \quad (12)$$

Здесь  $b_0 = \lambda^2/E$ ,  $\alpha = J_0 R_0^2$ ,  $\gamma = K_0 \tilde{R}_0^2$ ,  $R_0, \tilde{R}_0$  — радиусы билинейного и биквадратичного обменных взаимодействий соответственно.

Из дисперсионного уравнения (7) и амплитуд трансформаций (9) следует, что спектры  $l$ - и  $t$ -поляризованных квазифононов остаются линейными по волновому вектору. При этом скорость звука поперечно поляризованных квазифононов перенормируется.

Выражение (11) позволяет определить поле устойчивости КУ фазы:

$$\beta^{QU} = 4 \left( J_0 + \frac{A_0}{3} - K_0 - \frac{b_0 \sigma}{2} \right). \quad (13)$$

Как видно из (13), данное состояние может реализовываться только в случае, когда константа биквадратичного взаимодействия отвечает условию  $K_0 < J_0 + \frac{A_0}{3} - \frac{b_0 \sigma}{2}$ . Из последнего неравенства видно, что в системе не может реализовываться пространственно неоднородное состояние КУ типа.

Таким образом, учет ОА не только приводит к снятию вырождения возбужденных энергетических уровней, что проявляется в несовпадении спектров (11) и (12) (в отличие от [15]), но и препятствует образованию пространственно неоднородной квадрупольной фазы, в которой неоднородность связана с распределением главных осей тензора квадрупольного упорядочения (см. [15]).

Рассмотрим теперь случай, когда  $J_0 > K_0$ . В системе реализуется ферромагнитная фаза. При этом параметры порядка (6) принимают следующие значения:

$$\langle S^z \rangle = 1, \quad q_2^0 = 1, \quad q_2^2 = 0.$$

В этом случае амплитуды трансформаций (7) имеют вид

$$T_n^{\alpha 3} = i \frac{\lambda}{2} \{ T_n^0(k, l) k e_l^x - i T_n^0(k, t) k e_l^y \},$$

$$T_n^{\alpha 4} = i \frac{\lambda}{2} \{ T_n^0(k, l) k e_l^x + i T_n^0(k, t) k e_l^y \}. \quad (14)$$

Учет влияния магнитоупругого взаимодействия в этом состоянии приводит к гибридизации магнитных и упругих возбуждений и формированию магнитоупругих волн. Из (14) следует, что в системе распростра-

няется эллиптически поляризованная (в плоскости пленки) магнитоупругая волна. При этом, как следует из решений уравнения (7), скорости продольной и поперечной компонент перенормируются.

Решения уравнения (7) также определяют спектры квазимагнонов, которые в длинноволновом пределе имеют вид

$$\varepsilon_{\perp}^2(k) = \left\{ \alpha k^2 + \frac{\beta}{2} - A_0 - \frac{b_0(1+\sigma)}{2} \right\} \times \left\{ \alpha k^2 + \Omega_0 k + \frac{\beta}{2} - A_0 - \frac{b_0(1+\sigma)}{2} \right\},$$

$$\varepsilon_{\parallel}(k) = 2 \left( J_0 - K_0 - \frac{2A_0}{3} \right).$$

Из обращения в нуль щели в спектре низкочастотных квазимагнонов можно определить поле устойчивости ФМ фазы:

$$\beta^{FM} = 2A_0 + b_0(1+\sigma). \quad (15)$$

Таким образом, учет ОА типа «легкая ось», перпендикулярной плоскости пленки, значительно влияет на состояние системы. В ФМ состоянии ОА приводит к формированию эллиптически поляризованной магнитоупругой волны, скорости продольной и поперечной компонент которой перенормируются вследствие взаимодействия упругой и магнитной подсистем. Кроме того, учет ОА приводит к невозможности реализации пространственно неоднородного состояния, в отличие от [15]. Можно предположить, что фазовый переход между ФМ и КУ фазами протекает через квадрупольно-ферромагнитное (КФМ) состояние, которое характеризуется следующими значениями параметров порядка:

$$\langle S^z \rangle = \left( 1 - \left[ \frac{\lambda(u_{xx}^{(0)} - u_{yy}^{(0)})}{2(K_0 - J_0 - V_0^{zz})} \right]^2 \right)^{1/2},$$

$$q_2^2 = \frac{\lambda(u_{xx}^{(0)} - u_{yy}^{(0)})}{2(K_0 - J_0 - V_0^{zz})}$$

и является фазовым переходом первого рода.

Из сравнения выражений (13) и (15) можно определить область существования КФМ фазы:

$$\Delta\beta = \beta^{FM} - \beta^{QU} = 4(K_0 - J_0) + \frac{2}{3} A_0 + b_0(1+3\sigma).$$

Таким образом, фазовый переход по материальным константам между ФМ и КУ фазами является переходом первого рода, протекающим через КФМ состояние без гистерезиса. Отсутствие гистерезиса — следствие

учета ОА. Схематично фазовая диаграмма представлена на рис. 1.

Рассмотрим влияние внешнего магнитного поля на исследуемую систему. Гамильтониан системы в этом случае будет иметь вид (1), но с дополнительным слагаемым  $-H \sum_n S_n^y$ , описывающим зеемановскую энергию, где  $H$  — внешнее магнитное поле в энергетических единицах, действующее в плоскости пленки.

Предположим, что энергия внешнего магнитного поля не превосходит энергии биквадратичного и билинейного взаимодействий ( $K_0 > J_0 > H$ ). В этом случае в системе может реализоваться угловая фаза, т.е. вектор намагниченности образует некоторый угол  $\varphi$  с осью анизотропии.

Используя представления Голстейна–Примакова для спиновых операторов [20], гамильтониан можно представить в виде суммы двух слагаемых:

$$\mathcal{H} = \mathcal{H}^{(1)} + \mathcal{H}^{(2)},$$

первое из которых линейно по операторам рождения и уничтожения магнонов, второе квадратично. Из условия обращения в нуль гамильтониана  $\mathcal{H}^{(1)}$  найдем зависимость угла  $\varphi$  от материальных параметров системы и внешнего поля:

$$\sin \varphi = \frac{H}{\beta - K_0 - A_0}. \quad (16)$$

Из (16) видно, что угловая фаза может реализовываться лишь в случае, когда анизотропия достаточно велика:

$$\beta > K_0 + A_0. \quad (17)$$

Рассмотрим этот случай более подробно. Решение дисперсионного уравнения (подробный вывод которого представлен в работе [27]) связанных магнитоупругих волн позволяет определить спектры квазифононов и квазимагнонов:

$$\omega_{\text{ph}}(k) = \tilde{\omega}(k) \left\{ \zeta k^2 - K_0 + \beta - A_0 + H \sin \varphi + \sin^2 \varphi \left[ \frac{K_0}{2} - \Omega_0 k + 2(A_0 - \beta - b_0(2 + \sigma)) \right] + \left( \frac{K_0}{2} + 4b_0 \right) \sin^4 \varphi \right\}^{\frac{1}{2}} \times \\ \times \left\{ \zeta k^2 - K_0 + \beta - A_0 + H \sin \varphi + \sin^2 \varphi \left[ \frac{K_0}{2} - \Omega_0 k + 2(A_0 - \beta - b_0) \right] + \sin^4 \varphi \left( \frac{K_0}{2} + 4b_0 \right) \right\}^{\frac{1}{2}}, \quad (18)$$

$$\varepsilon^2(k) = \left\{ \zeta k^2 - K_0 + \beta - A_0 + H \sin \varphi + \sin^2 \varphi \left[ \frac{K_0}{2} - \Omega_0 k + 2(A_0 - \beta - b_0) \right] + \sin^4 \varphi \left( \frac{K_0}{2} + 4b_0 \right) \right\} \times \\ \times \left\{ \zeta k^2 - K_0 + \beta - A_0 + \Omega_0 k - \sin^2 \varphi \left[ \frac{K_0}{2} - 2A_0 + \beta - 2b_0 \right] + \sin^4 \varphi \left( \frac{K_0}{2} - b_0 \right) \right\}, \quad (19)$$

где  $\zeta = \alpha + \frac{3}{2}\gamma$ .

Структура квазифононных спектров свидетельствует о том, что в системе возможна реализация пространственно неоднородного состояния. Действи-

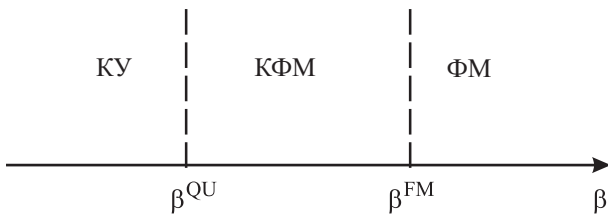


Рис. 1. Фазовая диаграмма анизотропного 2D негейзенберговского ферромагнетика в отсутствие внешнего магнитного поля.

тельно, спектр квазифононов (18) имеет минимум при  $k^* = \frac{\Omega_0 \sin^2 \varphi}{2\zeta}$ . Следовательно, при

$$H_1 \approx \beta - \frac{7}{4}K_0 - A_0 \quad (19)$$

происходит размягчение квазифононной ветви, а в спектре квазимагнонов возникает магнитоупругая щель  $\varepsilon^2(k^*) \Big|_{H=H_1} \approx b_0(1 + \sigma)K_0$ , усиленная биквадратичным обменом.

Необходимо отметить, что неоднородность связана с распределением намагниченности. Таким образом, в системе может реализовываться доменная структура, период которой равен  $\frac{1}{k^*} = \frac{2\zeta}{\Omega_0 \sin^2 \varphi}$ .

Выражение (19) определяет точку устойчивости угловой фазы. Кроме того, из (19) следует более жесткое ограничение, чем (17), на константу ОА:

$$\beta \geq \frac{7}{4}K_0 + A_0.$$

Рассмотрим теперь случай малой анизотропии:

$$\beta < K_0 + A_0. \quad (20)$$

Как отмечалось ранее, в этом случае угловая фаза не реализуется. Это означает, что при таком соотношении материальных констант намагниченность составляет с осью анизотропии угол  $\varphi = \pi/2$ , т.е. вектор намагниченности лежит в плоскости образца.

Параметры порядка системы существенно зависят от величины внешнего поля, и в рассматриваемом случае могут принимать следующие значения:

$$0 < \langle S^z \rangle \equiv \cos 2\theta < 1, \quad q_2^0 = 1, \quad 0 < q_2^2 \equiv \sin 2\theta < 1.$$

Такое поведение параметров порядка свидетельствует о реализации КФМ фазы.

Исследуем плотность свободной энергии системы в этом состоянии:

$$F = -\frac{K_0}{2} - \frac{J_0}{2} - \frac{\beta}{4} - H + \frac{b_0}{2} \left( 2\sigma - \frac{7}{4} \right) + \sin 2\theta \times \left\{ \frac{\beta}{4} - \frac{b_0}{2} \left( \sigma + \frac{1}{2} \right) \right\} + \sin^2 2\theta \left\{ \frac{J_0}{2} - \frac{K_0}{6} + \frac{H}{2} - \frac{b_0}{8} \left( \frac{1}{2} + \sigma \right) \right\} + \sin^4 2\theta \left( \frac{H}{8} \right) + \sin^6 2\theta \left( \frac{H}{16} \right). \quad (21)$$

Наличие слагаемого, линейного по параметру порядка ( $\sin 2\theta$ ) в (21), свидетельствует о возможности фазового перехода первого рода. При этом поле устойчивости равно

$$H_2 = \frac{K_0}{3} - J_0 + \frac{b_0}{4} \left( \sigma + \frac{1}{2} \right). \quad (22)$$

Рассмотрим случай больших полей ( $H > K_0 > J_0$ ). Поле, как и ранее, ориентировано в плоскости пленки. При таких полях система будет находиться в ФМ фазе, причем вектор намагниченности ориентирован по полю.

Параметры порядка системы в этой фазе имеют вид

$$\langle S^z \rangle = 1, \quad q_2^0 = 1, \quad q_2^2 = 0.$$

В данной фазе спектры квазимагнонов определяются уравнением (7):

$$\varepsilon_{\perp}(k) = \left[ \left( H + A_0 - \frac{\beta}{4} + \frac{3}{4}b_0 - \Omega_0 k + \alpha k^2 \right) \times \left( H - \frac{\beta}{4} + \frac{3}{4}b_0 + \Omega_0 k + \alpha k^2 \right) \right]^{1/2},$$

$$\varepsilon_{\parallel}(k) = 2(J_0 - K_0 + H + \frac{A_0}{3}).$$

Спектры квазифононов также определяются из уравнения (7):

$$\omega_1^2(k) = \omega_t^2(k) \frac{2 \left( J_0 + H + \frac{A_0}{3} - K_0 - \frac{b_0}{4} \right) + \gamma k^2}{2 \left( J_0 + H + \frac{A_0}{3} - K_0 \right) + \gamma k^2}, \quad (23)$$

$$\omega_2^2(k) = \omega_t^2(k) \frac{\alpha k^2 + \Omega_0 k + H - \frac{\beta}{4} - \frac{b_0}{4}}{\alpha k^2 + \Omega_0 k + H - \frac{\beta}{4} + \frac{3b_0}{4}}. \quad (24)$$

Выражение (24) позволяет определить поле устойчивости ФМ фазы:

$$H_3 = \frac{\beta}{4} + \frac{b_0}{4}. \quad (25)$$

При  $H = H_3$  спектр  $t$ -поляризованных квазифононов размягчается:

$$\omega_2^2(k) = \omega_t^2(k) \frac{\alpha k^2 + \Omega_0 k}{b_0},$$

а спектр продольно-поляризованных квазифононов остается линейным. В спектре низкочастотных квазимагнонов возникает магнитоупругая щель, усиленная магнитодипольным взаимодействием:

$$\varepsilon_{\perp}(0) = b_0 A_0.$$

### Заключение

Проведенные исследования позволили выяснить влияние легкоосной ОА на фазовые состояния  $2D$  негейзенберговского ферромагнетика.

В случае отсутствия внешнего магнитного поля в изотропном негейзенберговском магнетике [15] спонтанные деформации совпадают, что приводит к вырождению возбужденных энергетических уровней  $E_0$  и  $E_{-1}$ . Как показано в данной работе, учет ОА нарушает симметрию системы, что проявляется в несовпадении спонтанных деформаций и снятия вырождения возбужденных энергетических уровней. Это приводит к невозможности реализации пространственно неоднородного состояния КУ типа. Кроме того, в ФМ состоянии учет ОА приводит к формированию эллипти-

чески поляризованной МУ волны (14). При этом фазовый переход по материальным константам между ферромагнитной и квадрупольной фазами является переходом первого рода, протекающим через КФМ состояние без гистерезиса.

Существенным образом влияние ОА проявляется и при наличии внешнего магнитного поля. Так, в области достаточно малых полей и больших значений одноионной анизотропии (превосходящих биквадратичный обмен), система находится в угловой фазе, в которой вектор намагниченности образует угол с плоскостью пленки  $\left(\sin \varphi \sim 1 - \frac{K_0}{\beta}\right)$ . При этом влияние магнитодипольного взаимодействия мало, поскольку мала компонента намагниченности, перпендикулярная плоскости пленки.

Увеличение поля выше критической величины  $H_1$  (см. (19)) приводит к фазовому переходу первого рода в пространственно неоднородное состояние по намагниченности. Дальнейшее увеличение поля, выше  $H_3$  (см. (25)), переводит систему в ФМ фазу. Эта ситуация схематично представлена на рис. 2, б.

Если же константа ОА мала (см. (20)), то реализация угловой фазы в системе не выгодна, и при  $H \neq 0$  в системе реализуется КФМ фаза. При увеличении магнитного поля система путем фазового перехода первого рода переходит в ФМ фазу. Соответствующие линии устойчивости фаз показаны на рис. 2, а.

Таким образом, легкоосная анизотропия существенно влияет на формирование как однородных фаз,

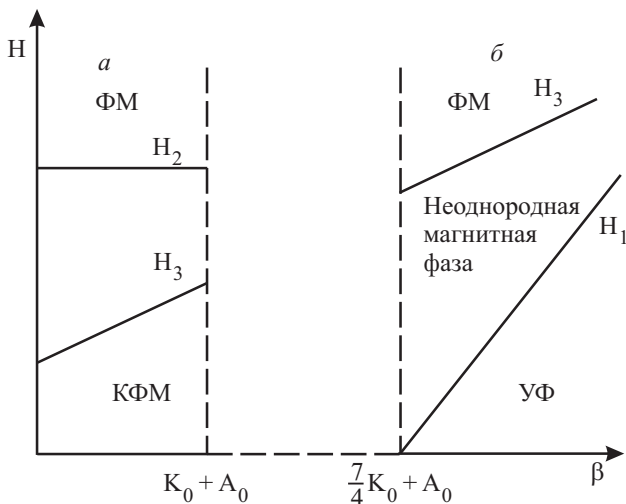


Рис. 2. Фазовая диаграмма анизотропного 2D негейзенберговского ферромагнетика во внешнем магнитном поле.

так и доменной фазы негейзенберговского двумерного ферромагнетика.

Авторы выражают благодарность Министерству образования и науки Украины за финансовую поддержку (грант 250/06).

1. T. Tsurento and T. Murano, *Physica* **51**, 186 (1971).
2. C. Ishikawa and Y. Endo, *Prog. Theor. Phys.* **55**, 650 (1976).
3. В.Г. Борисенко, Ю.В. Переверзнецов, *ФНТ* **11**, 730 (1985).
4. K.M. Diederix, H.A. Algra, J.P. Groen et al., *Phys. Lett.* **A60**, 247 (1977).
5. В.П. Дьяконов, Э.Е. Зубов, Ф.П. Онуфриева, А.В. Сайко, И.М. Фита, *ЖЭТФ* **93**, 1775 (1987).
6. F.J. Varret, *Phys. Chem. Solids* **37**, 257 (1976).
7. I.I. Smit, L.I. De Jongh, D. De Klerk et al. *Physica* **86**, 1147 (1977).
8. N. Wada, K. Amaja, and T.J. Haseda, *Phys. Soc. Jpn.* **43**, 34 (1977).
9. H.A. Algra, I. Bartolome, L.I. De Jongh et al., *Physica* **93**, 35 (1978).
10. W.G. Bos, T.O. Klassen, N.J. Pouks, and R.I. Carlin, *J. Magn. Mater.* **15-18**, 464 (1980).
11. T. Morija, *Phys. Rev.* **117**, 635 (1960).
12. Э.Л. Нагаев, *Магнетики со сложными обменными взаимодействиями*, Наука, Москва (1988).
13. H.H. Chen and P.M. Levy, *Phys. Rev. Lett.* **27**, 1383 (1971).
14. В.М. Матвеев, *ЖЭТФ* **65**, 1626 (1973).
15. Yu.A. Fridman, Ph.N. Klevets, and D.A. Matyunin, *Physica* **B382**, 156 (2006).
16. R.P. Erickson and D.L. Mills, *Phys. Rev.* **B46**, 861 (1992).
17. A. Kashuba and V.L. Pokrovsky, *Phys. Rev. Lett.* **70**, 3155 (1993).
18. H.A. Brown, *Phys. Rev.* **4**, 115 (1971).
19. Е.А. Туров, В.Г. Шавров, *УФН* **140**, 429 (1983).
20. А.И. Ахизер, В.Г. Барьяхтар, С.В. Пелетминский, *Спиновые волны*, Наука, Москва (1967).
21. Yu.A. Fridman and O.A. Kosmachev, *J. Magn. Mater.* **236**, 272 (2001).
22. Л.Д. Ландау, Е.М. Лифшиц, *Теория упругости*, Наука, Москва (1965).
23. Р.О. Зайцев, *ЖЭТФ* **68**, 207 (1975).
24. В.В. Вальков, Т.А. Валькова, С.Г. Овчинников, *ЖЭТФ* **88**, 550 (1985).
25. Л.Д. Ландау, Е.М. Лифшиц, *Статистическая физика*, Наука, Москва (1976).
26. Ю.А. Изюмов, Ф.А. Касан-Оглы, Ю.Н. Скрябин, *Полевые методы в теории ферромагнетизма*, Наука, Москва (1974).
27. В.Г. Барьяхтар, В.Н. Криворучко, Д.А. Яблонский, *Функции Грина в теории магнетизма*, Наукова думка, Киев (1984).

The influence of the single-ion anisotropy on  
the phase states of 2D non-Heisenberg  
ferromagnets

Yu.A. Fridman, D.A. Matyunin, and Ph.N. Klevets

The phase states and the spectra of elementary excitations of a 2D non-Heisenberg ferromagnet have been investigated. It is shown that the single-ion anisotropy essentially affects both the formation of the quadrupolar phase and the realization

of a canted phase. The conditions of the phase transition regarding both the material constants and the magnetic field have been found. The phase diagrams of the system are plotted.

PACS: **75.10.-b** General theory and models of magnetic ordering;  
**75.30.Gw** Magnetic anisotropy;  
**72.55.+s** Magnetoacoustic effects.

Keywords: biquadratic exchange, single-ion anisotropy, phase transitions.